

## 側面接着された AFRP シート曲げ補強 RC 梁の耐荷性状に関する数値解析

室蘭工業大学 学生員  
室蘭工業大学 学生員

山田 真司  
張 広鋒

室蘭工業大学 フェロー 岸 徳光  
室蘭工業大学 正員 小室 雅人

### 1. はじめに

本研究では、側面接着されたアラミド繊維シート (AFRPs) 曲げ補強 RC 梁の耐荷性状や破壊挙動を適切に評価可能な解析手法を検討することを目的として、著者らが過去に提案した解析手法<sup>1)</sup>に基づき、曲げ補強シートの剥離を制御するために側面に接着された AFRPs の接着高さの異なる AFRP シート曲げ補強 RC 梁に関する 3 次元弾塑性解析を試み、実験結果と比較することによりその妥当性について検討を行った。

### 2. 試験体概要

試験体は側面接着高さのみを変化させた全 4 体であり、試験体名は側面貼りを示す S と側面接着高さ (mm) を用いて S0/40/90/120 とした。図 - 1 には、試験体の概要図を S90 試験体を例に示している。各試験体には、底面に目付量  $415 \text{ g/m}^2$ 、幅 130 mm の AFRPs を梁中央部から左右にそれぞれ 1,271 mm の範囲に 2 層貼り付けている。側面には目付量  $200 \text{ g/m}^2$  のシート 1 層を等せん断力区間の載荷点から長さ 771 mm の範囲に貼り付けている。表 - 1 および 表 - 2 には、それぞれ実験時に実施した各材料の力学的特性値を一覧にして示している。

### 3. 数値解析モデル

図 - 2 には、要素分割図の一例として、S0 試験体に関する要素分割状況を示している。解析モデルは、RC 梁の対称性を考慮してスパンおよび断面方向に 2 等分した 1/4 モデルである。また、全試験体の側面接着シートを除いた部分の要素分割状況は便宜的に S0 試験体と同様とし、

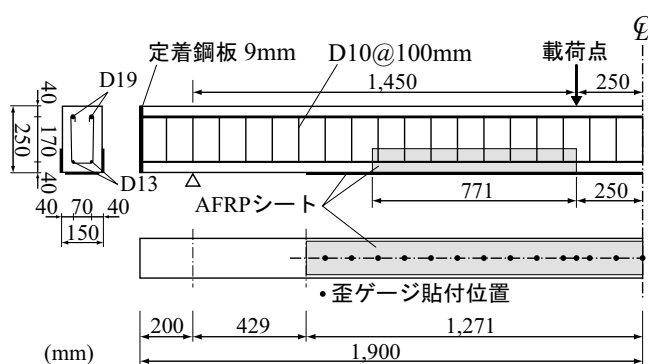


図 - 1 試験体の概要図の一例 (S90 試験体)

側面接着シートは図中の灰色部にそれぞれ所定の高さまで配置している。

### 4. 材料構成則および接触面要素に適用したモデル

コンクリートの構成則は、圧縮側に対しては、材料試験結果から得られた圧縮強度  $f'_c$  を用い、 $3,500 \mu$  までは土木学会コンクリート標準示方書に基づいて定式化し、 $3,500 \mu$  以後は初期弾性係数の 1/20 倍で  $0.2 f'_c$  まで線形軟化するモデルとした。一方、引張側に関しては線形軟化モデルを適用している。鉄筋要素には塑性硬化係数を考慮した弾塑性体モデルを適用した。また、AFRPs には引張強度に達した時点で破断したと見なされるモデルを適用している<sup>1)</sup>。

本数値解析では、過去の研究<sup>1)</sup>と同様、予めコンクリート部、コンクリート - 鉄筋間、コンクリート - 底面シート間にそれぞれ Discrete Cracking モデル、Bond-slip モデル、剥離モデルの 3 種類の応力 - 相対変位関係を配置し、

表 - 1 コンクリートおよび鉄筋の力学的特性値一覧

材料	圧縮強度 $f'_c$ (MPa)	引張強度 $f_t$ (MPa)	降伏強度 $f_y$ (MPa)	弾性係数 $E$ (GPa)	ポアソン比 $\nu$
コンクリート	34.3	2.67	-	29.0	0.2
鉄筋	-	-	362	206	0.3

表 - 2 AFRPs の力学的特性値 (公称値)

繊維目付量 (g/m <sup>2</sup> )	厚さ $t_f$ (mm)	引張強度 $\sigma_f$ (GPa)	弾性係数 $E_f$ (GPa)	破断歪 (%)
200	0.138	2.06	118	1.75
415	0.286			

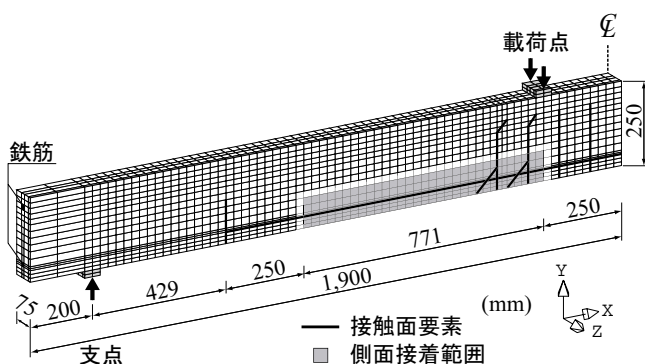


図 - 2 要素分割図の一例 (S0 試験体)

キーワード：RC 梁, FPR シート, 側面接着, 耐荷性状, 非線形解析

連絡先：〒 050-8585 室蘭市水元町 27-1 室蘭工業大学 建設システム工学科 TEL 0143-46-5230 FAX 0143-46-5227

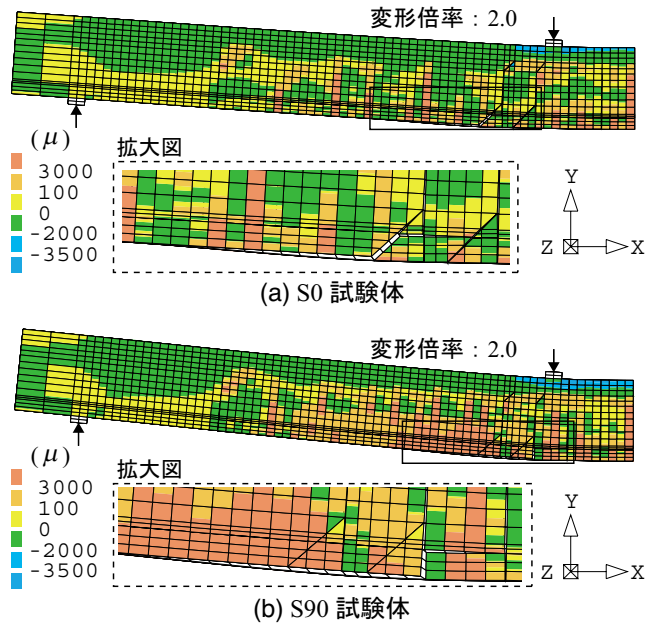


図-3 軸方向歪分布および変形図

ひび割れの開口、主鉄筋のすべりおよびシートの剥離をモデル化している。なお、側面接着シートとコンクリート間に接触面要素を配置し、剥離モデルを適用することにより、側面シートの剥離を再現している。

### 5. 数値解析結果および考察

図-3には、一例としてS0試験体とS90試験体に関する解析結果のシート全面剥離直前における変形状況およびコンクリートの軸方向歪コンター図を示している。(a)図のS0試験体の結果より、斜めひび割れ先端部からピーリング作用によってシートの剥離が開始し、支点側に向かって進行している状況が分かる。なお、実験時においても類似した挙動を確認している。(b)図のS90試験体に関しては、実験・解析結果とも、明瞭な斜めひび割れが現れず、せん断力区間の載荷点近傍における曲げ離散ひび割れが大きく開口し、せん断力の作用によってその部分が下方に押し出されることに伴うピーリング作用によって、シート剥離が発生している様子が見られる。S40試験体とS120試験体に関しても、実験結果と解析結果が大略同様の挙動を示していることから、解析結果は実験結果を大略再現可能であるものと考えられる。

図-4には、各試験体における荷重-変位関係に関する解析結果を実験結果と比較して示している。側面接着なしのS0試験体や側面接着ありのS40/90試験体に関する比較図より、解析結果は載荷初期から曲げ補強シートの全面剥離によって終局に至るまで実験結果とよく一致していることが分かる。一方、S120試験体に関しては、解析結果は実験結果を下回った状態で終局に至っていることが分かる。これは、実験時には一方向シートを梁高

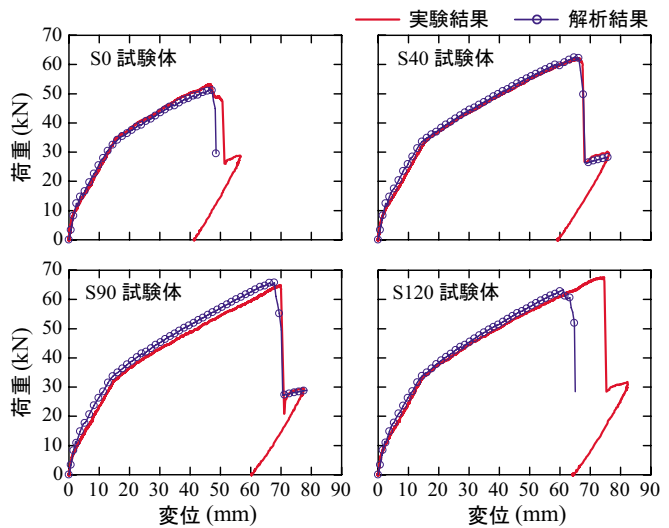


図-4 荷重-変位関係

さ方向に貼り付けているために、側面接着範囲内における曲げひび割れの発生が著しく抑制されていないのに対し、数値解析ではシートを等方材料と仮定していること、および、他の試験体と比較してシートの補強高さが高いことから、せん断力区間におけるひび割れの分散が抑制され、実験結果以上に離散ひび割れ部にひび割れが集中し、ピーリングによるシート剥離が早期に発生したものと推察される。

また、S0試験体と側面接着を有する他の3試験体を比較すると、側面接着することによって最大荷重および最大荷重時変位が大きくなる傾向にあり、側面接着シートの剥離抑制効果が期待できることが数値解析的にも確認できた。

### 6. まとめ

- (1) 本研究で提案した解析手法を用いることにより、側面に接着したAFRPsの接着高さにかかわらず、実験結果の荷重-変位関係およびシートの剥離挙動を大略再現可能であるものと考えられる。
- (2) 本研究の範囲内では、AFRPsを側面接着することにより、曲げ補強シートのみを接着する場合よりも最大荷重や最大荷重時変位が向上し、側面接着したAFRPsの剥離抑制効果が期待できることが数値解析的にも明らかになった。
- (3) しかしながら、より適切に実験結果を再現するためには、解析においてAFRPsを異方材料として取り扱うべきであるものと考えられる。

### 参考文献

- 1) 岸 徳光, 三上 浩, 張 広鋒: FRPシート曲げ補強RC梁に関するシートの剥離挙動解析, 土木学会論文集, No.725 / V-58, pp.255 - 272, 2003